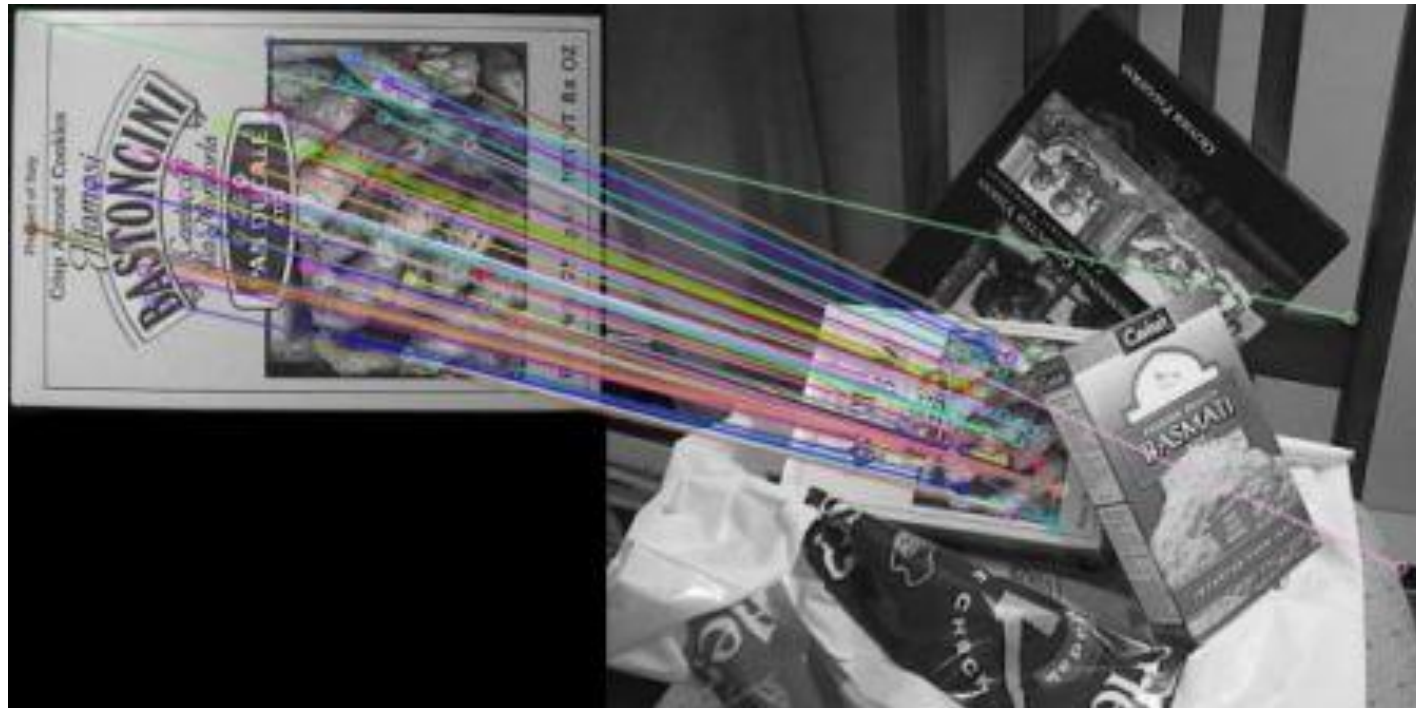


Ключевые точки,
сопоставление изображений

Ключевые точки



https://docs.opencv.org/4.x/dc/dc3/tutorial_py_matcher.html

Ключевые точки

Хотим наложить один объект на другой

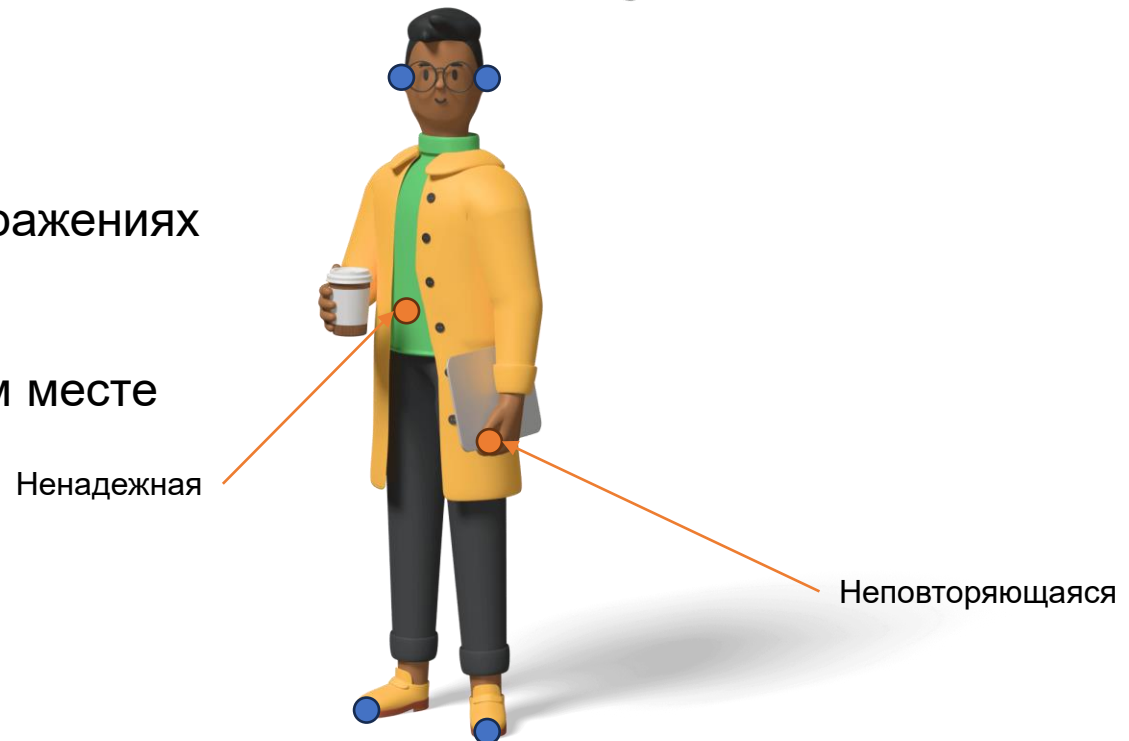
Главные свойства для нас:

Repeatability

Точка будет в одном и том же месте на разных изображениях

Reliability

Точка будет стоять в каком-то важном и характерном месте



Ключевые точки

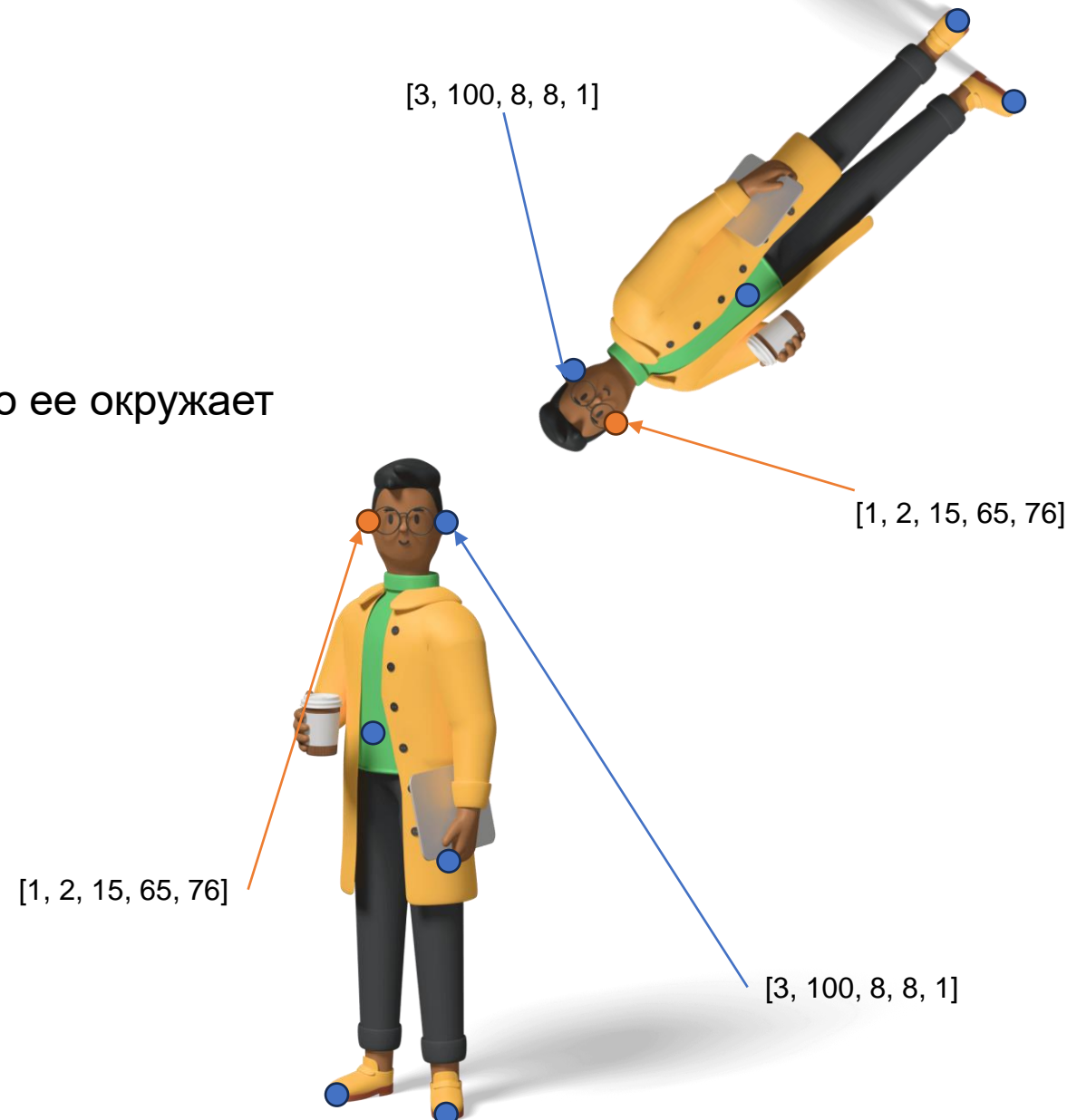
Дескриптор

Вектор, который будет хорошо описывать точку и что ее окружает

Хороший дескриптор

У разных точек непохожие дескрипторы

У одинаковых – похожие дескрипторы



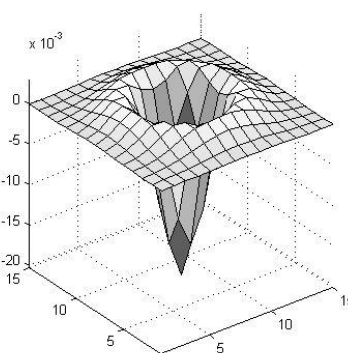
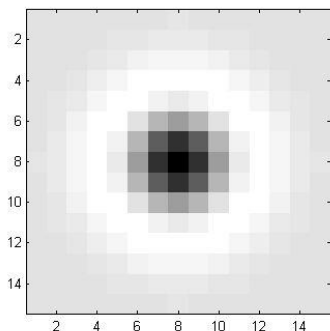
Ключевые точки

- Harris
- Shi-Tomasi
- BRIEF
- FAST https://docs.opencv.org/4.x/db/d27/tutorial_py_table_of_contents_feature2d.html
- SURF
- ORB
- **SIFT**

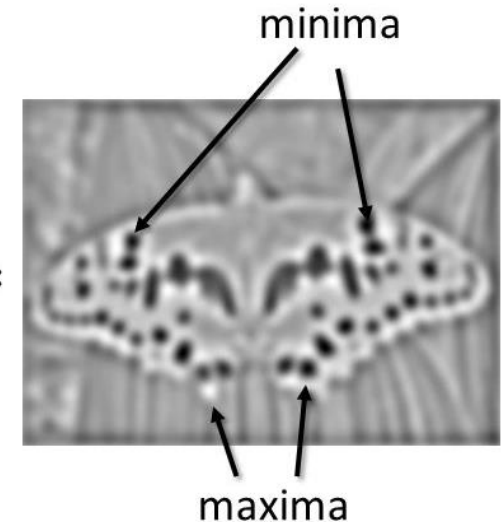
Scale Invariant Feature Transform

Локализация

В теории сворачиваем изображение со второй производной гауссианы (Laplacian)
Ищем экстремум по изображению и по размеру этой гауссианы



$*$  =



Blob detection

Scale Invariant Feature Transform

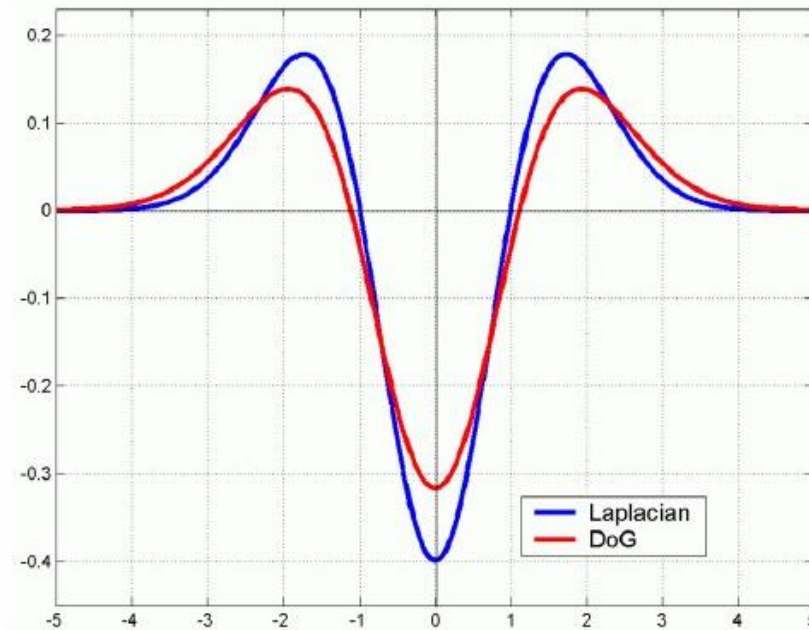
Локализация

$$L = \sigma^2 \left(G_{xx}(x, y, \sigma) + G_{yy}(x, y, \sigma) \right)$$

(Laplacian)

$$DoG = G(x, y, k\sigma) - G(x, y, \sigma)$$

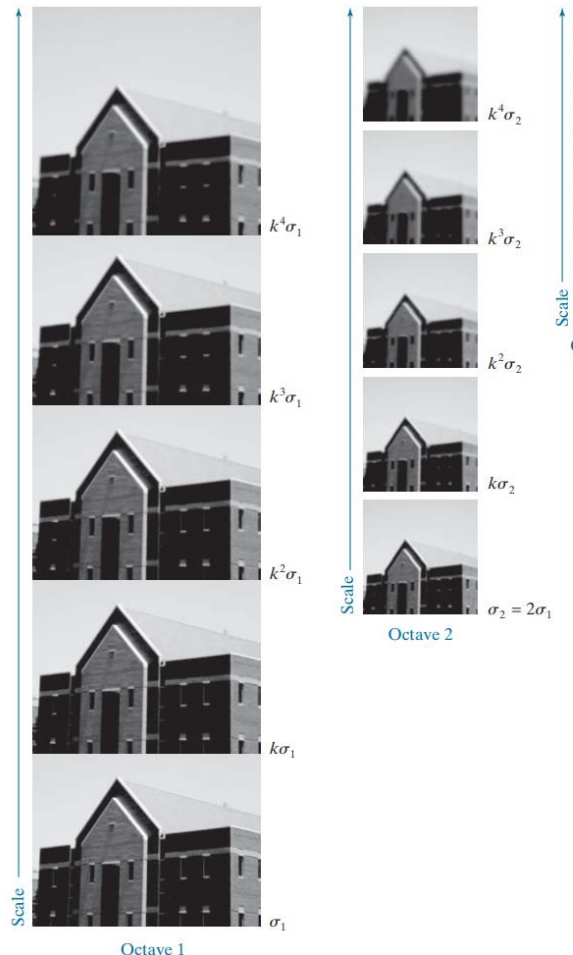
(Difference of Gaussians)



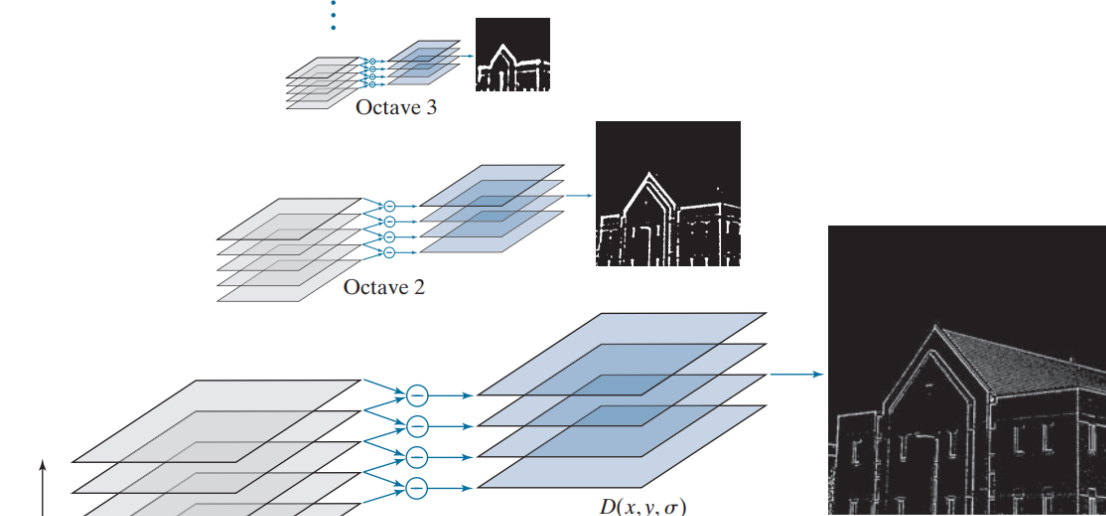
Scale Invariant Feature Transform

Локализация

На практике блюрят изображения



Вычитают одно из другого



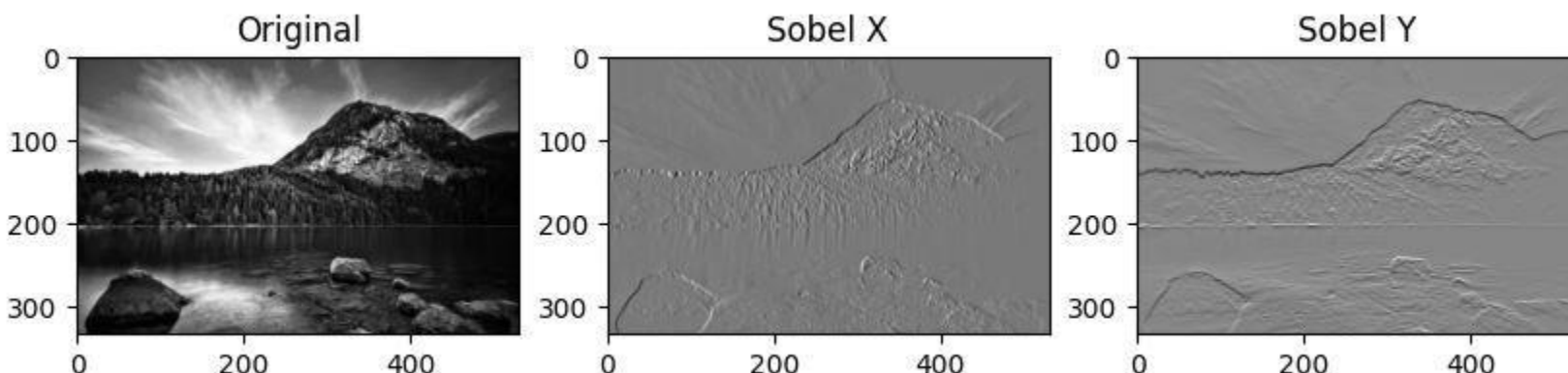
Получают то же самое

Scale Invariant Feature Transform

Извлечение дескриптора

Изображение – это функция $F(x, y)$

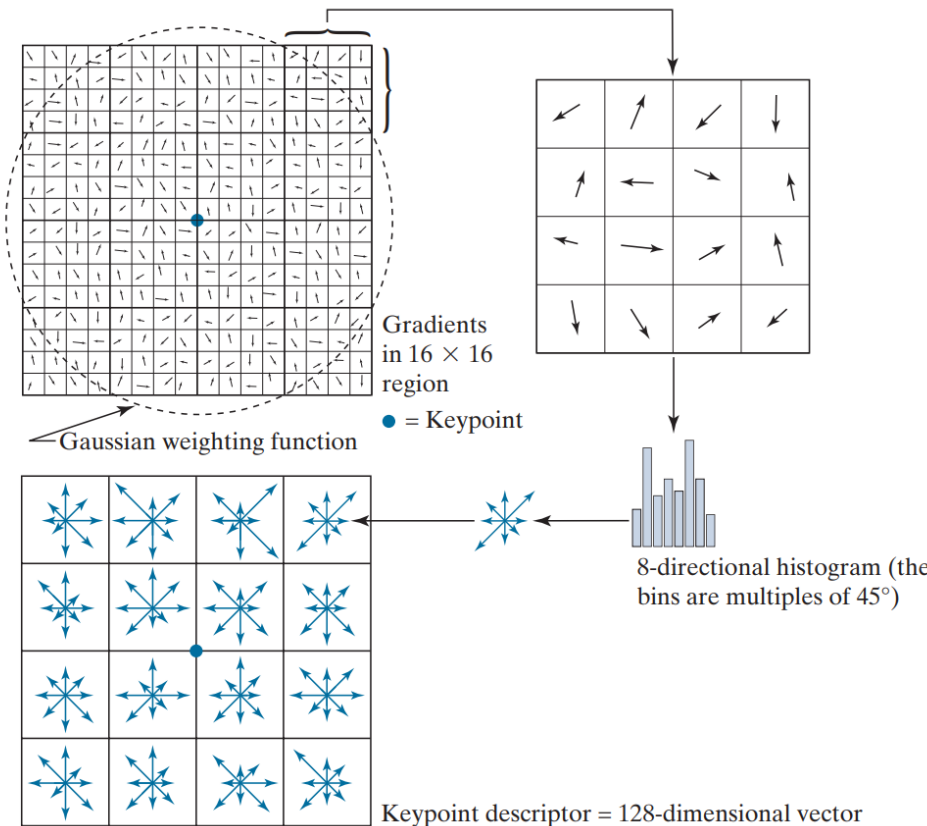
Можем посчитать производную



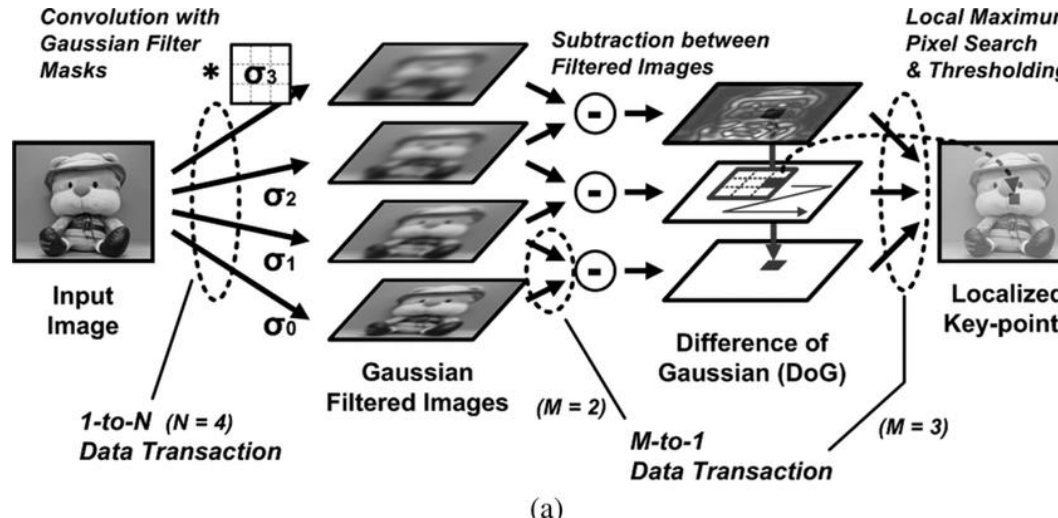
$$\begin{array}{c} \begin{matrix} 1 \\ 2 \\ 1 \end{matrix} * \begin{matrix} -1 & 0 & 1 \end{matrix} \rightarrow \begin{bmatrix} -1 & 0 & +1 \\ -2 & 0 & +2 \\ -1 & 0 & +1 \end{bmatrix} \\ \text{1D Gaussian filter} \qquad \text{x-derivative} \qquad \qquad \text{Sobel - x} \\ \\ \begin{matrix} -1 \\ 0 \\ 1 \end{matrix} * \begin{matrix} 1 & 2 & 1 \end{matrix} \rightarrow \begin{bmatrix} -1 & -2 & -1 \\ 0 & 0 & 0 \\ +1 & +2 & +1 \end{bmatrix} \\ \text{y-derivative} \qquad \text{1D Gaussian filter} \qquad \qquad \text{Sobel - y} \end{array}$$

Scale Invariant Feature Transform

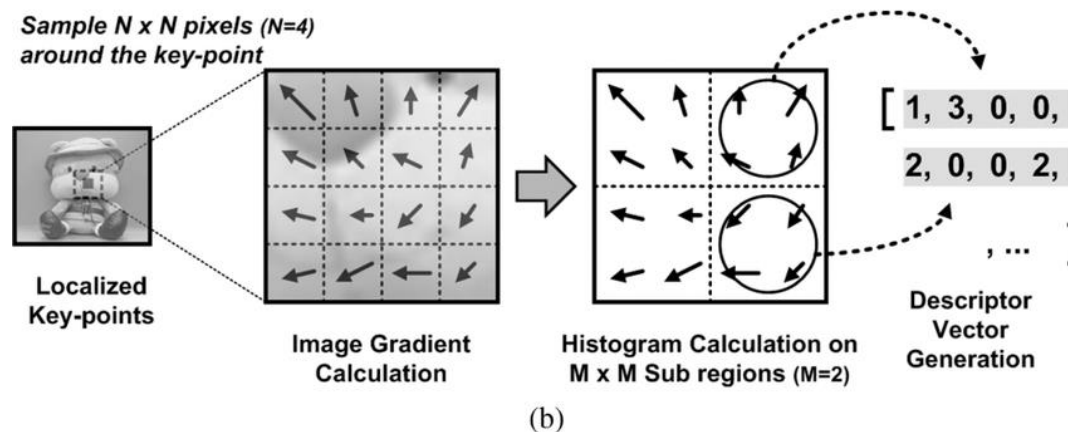
Извлечение дескриптора



Scale Invariant Feature Transform



(a)



(b)

Scale Invariant Feature Transform

Сравнение дескрипторов

Как правило, берут вот такую метрику

L2 Distance

$$d(H_1, H_2) = \sqrt{\sum_k (H_1(k) - H_2(k))^2}$$

Но могут быть усложнения

Normalized Correlation

$$d(H_1, H_2) = \frac{\sum_k [(H_1(k) - \bar{H}_1)(H_2(k) - \bar{H}_2)]}{\sqrt{\sum_k (H_1(k) - \bar{H}_1)^2} \sqrt{\sum_k (H_2(k) - \bar{H}_2)^2}}$$

$$\bar{H}_i = \frac{1}{N} \sum_{k=1}^N H_i(k)$$

Scale Invariant Feature Transform

Попарно сравниваем дескрипторы и сопоставляем точки

Cross Check

Можно смотреть, что для точки A – ближайшая B,
и для B – ближайшая A

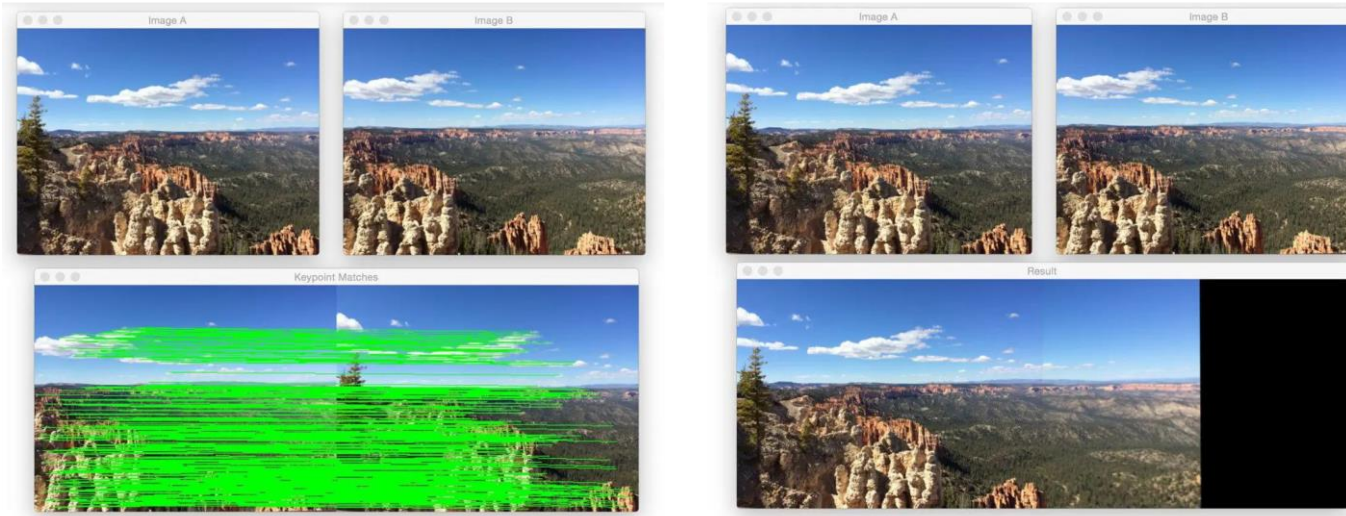
Lowe's ratio test

Можно смотреть, что первый ближайший сосед стоит
далее второго

```
# ratio test as per Lowe's paper
for i,(m,n) in enumerate(matches):
    if m.distance < 0.1*n.distance:
        matchesMask[i]=[1,0]
```

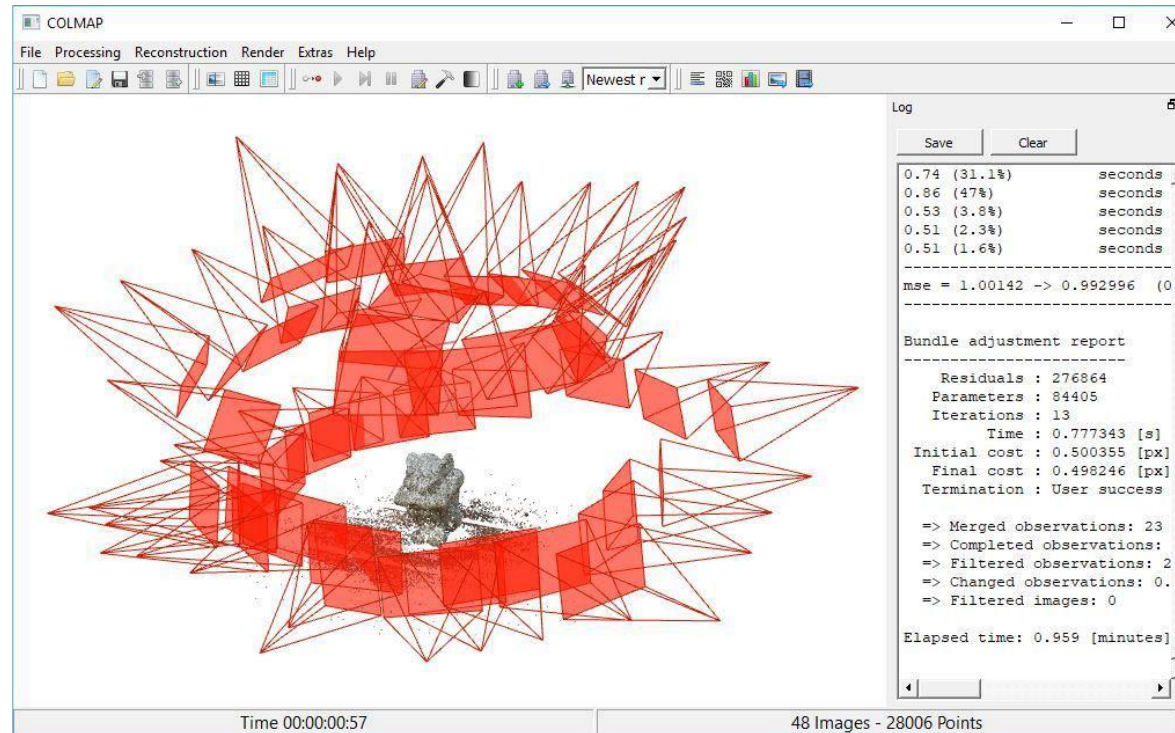
Scale Invariant Feature Transform

Сматчив изображения между собой, можно, например, сделать панораму



Scale Invariant Feature Transform

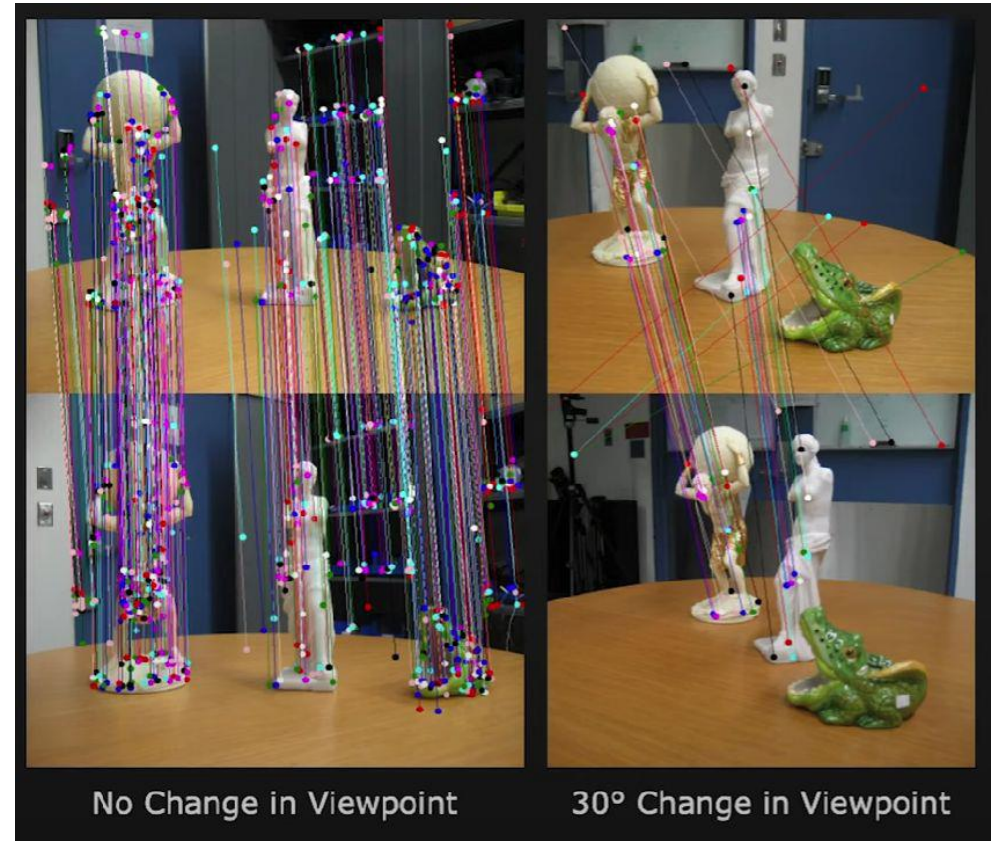
Или восстановить положение камер



Зачем Deep Learning?

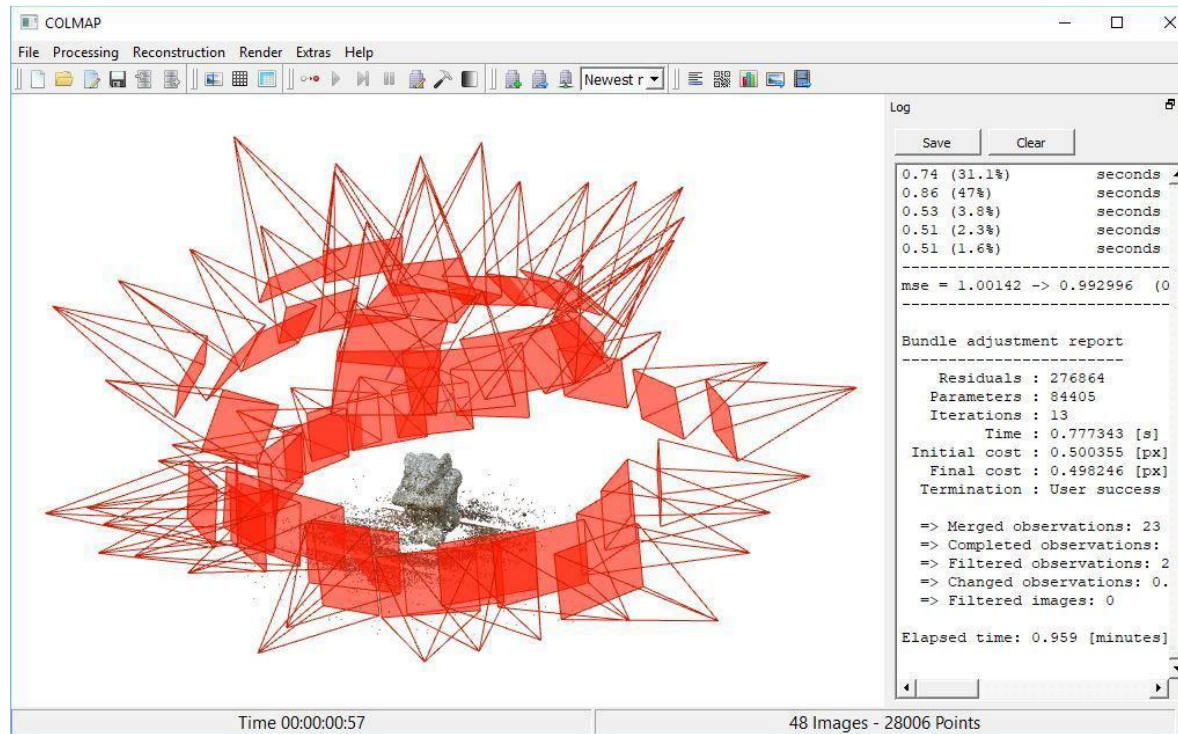
Проблемы SIFT

- Изменение угла обзора
- Похожие паттерны



Зачем Deep Learning?

Нужно очень плотное покрытие кадрами



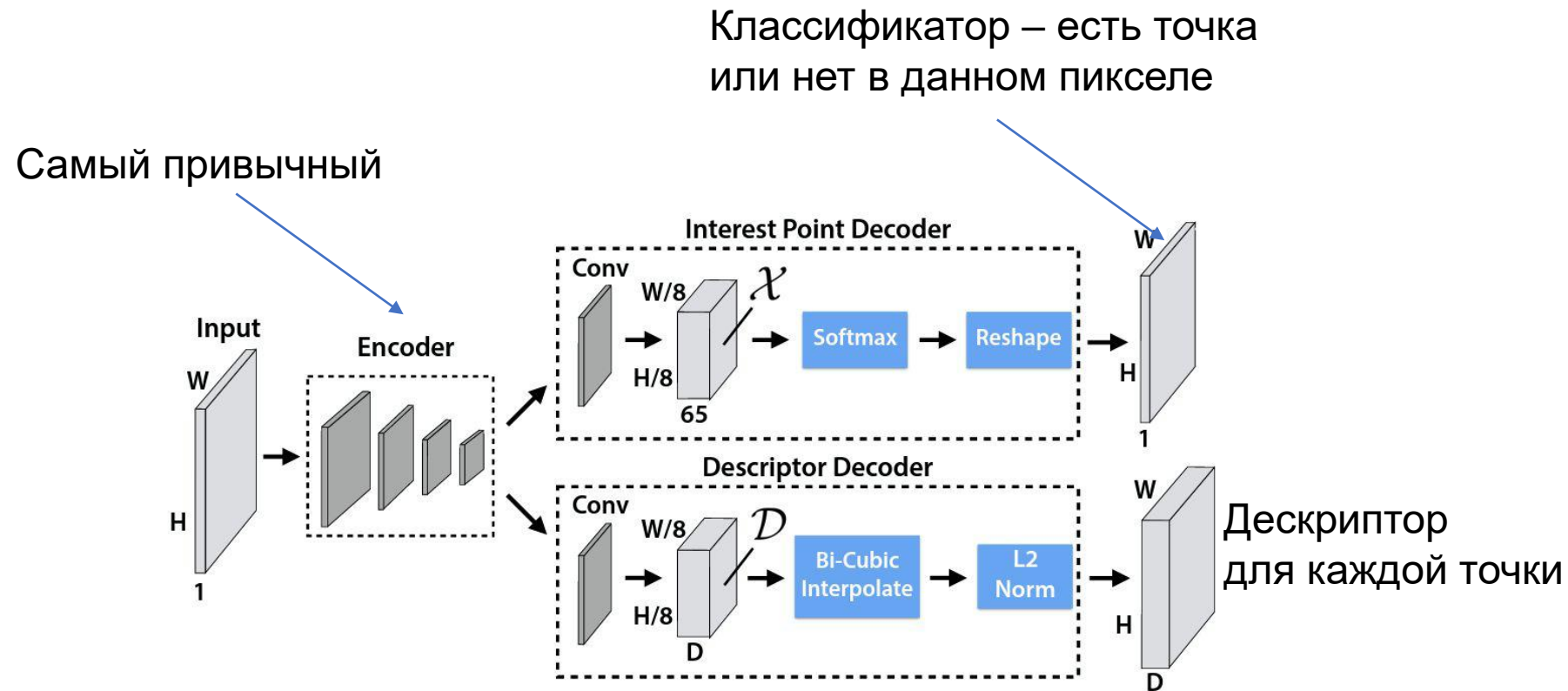
Deep Learning – SuperPoint

Самостоятельное формулирование качественных правил расчета признаков – нетривиальная задача

Давайте попросим нейронную сеть искать нам точки и дескрипторы, которые нам нужны

Надежные и воспроизводимые

Deep Learning – SuperPoint

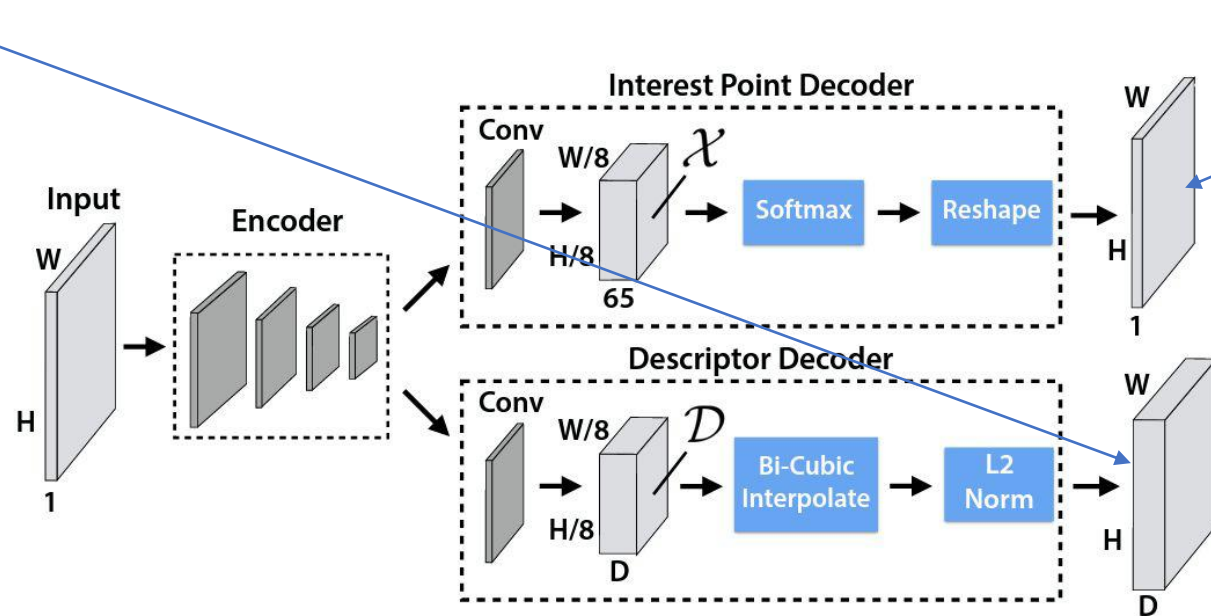


Deep Learning – SuperPoint

Делаем векторы одинаковых точек близкими,
разных – далекими

$$l_d(d, s'; s) = \lambda_d * s * \max(0, m_p - d^T d') + (1 - s) * \max(0, d^T d' - m_n)$$

Тут Hinge Loss



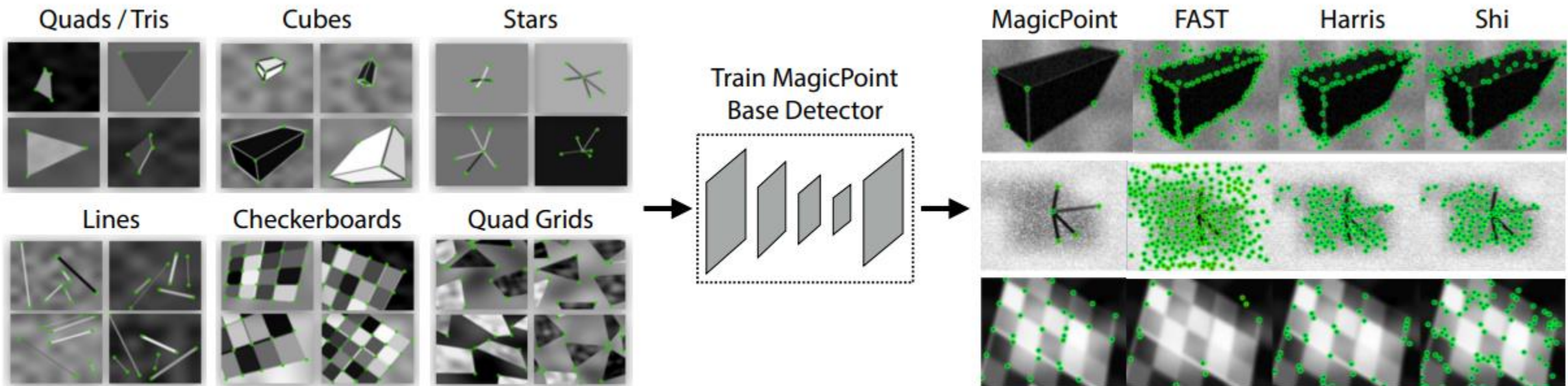
Тут кросс-энтропия

$$\text{Loss} = - \sum_{i=1}^{\text{output size}} y_i \cdot \log \hat{y}_i$$

Если есть ключевая точка,
тяни к 1

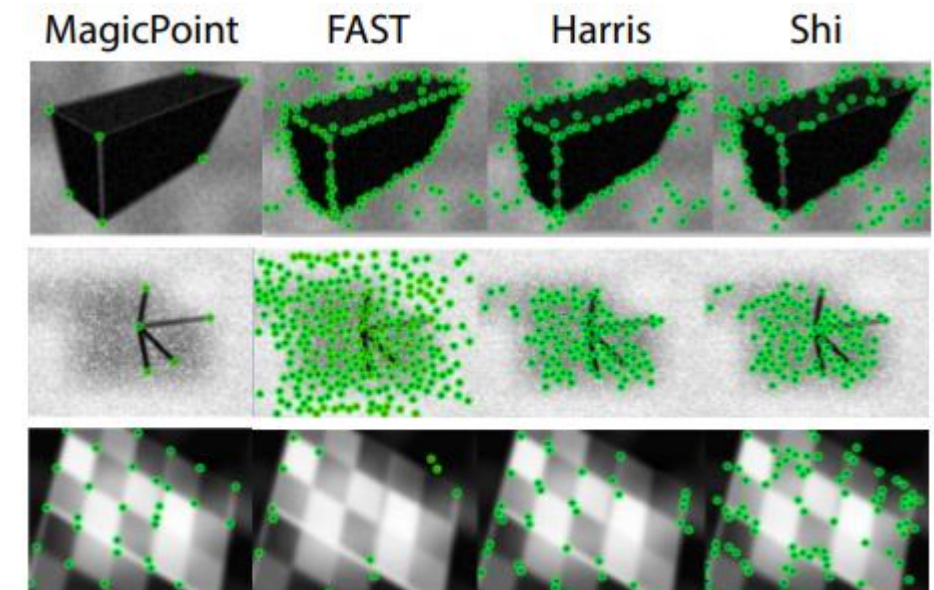
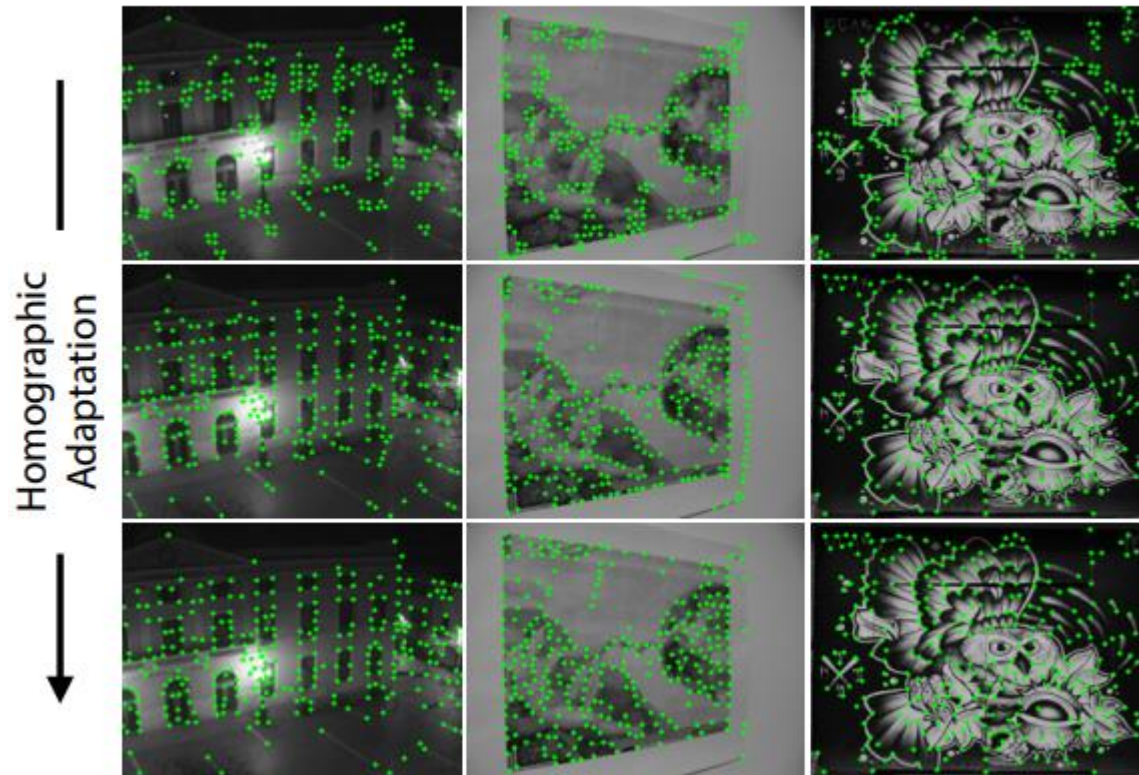
Deep Learning – SuperPoint

Шаг 1: синтетика



Deep Learning – SuperPoint

Шаг 2: что-то выдает на реальных данных

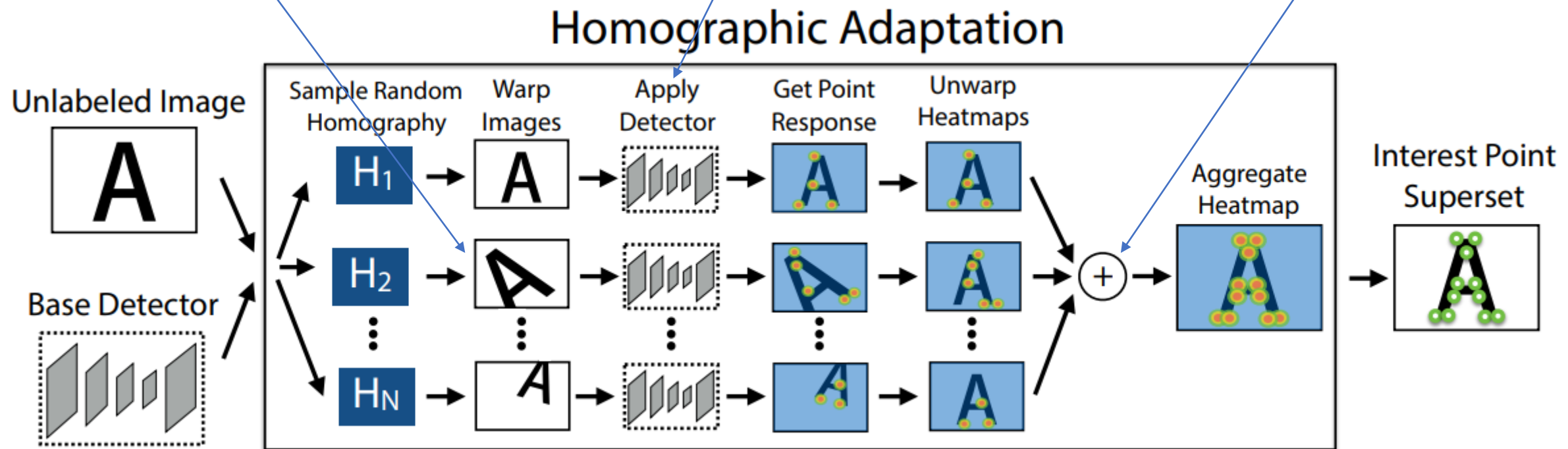


Deep Learning – SuperPoint

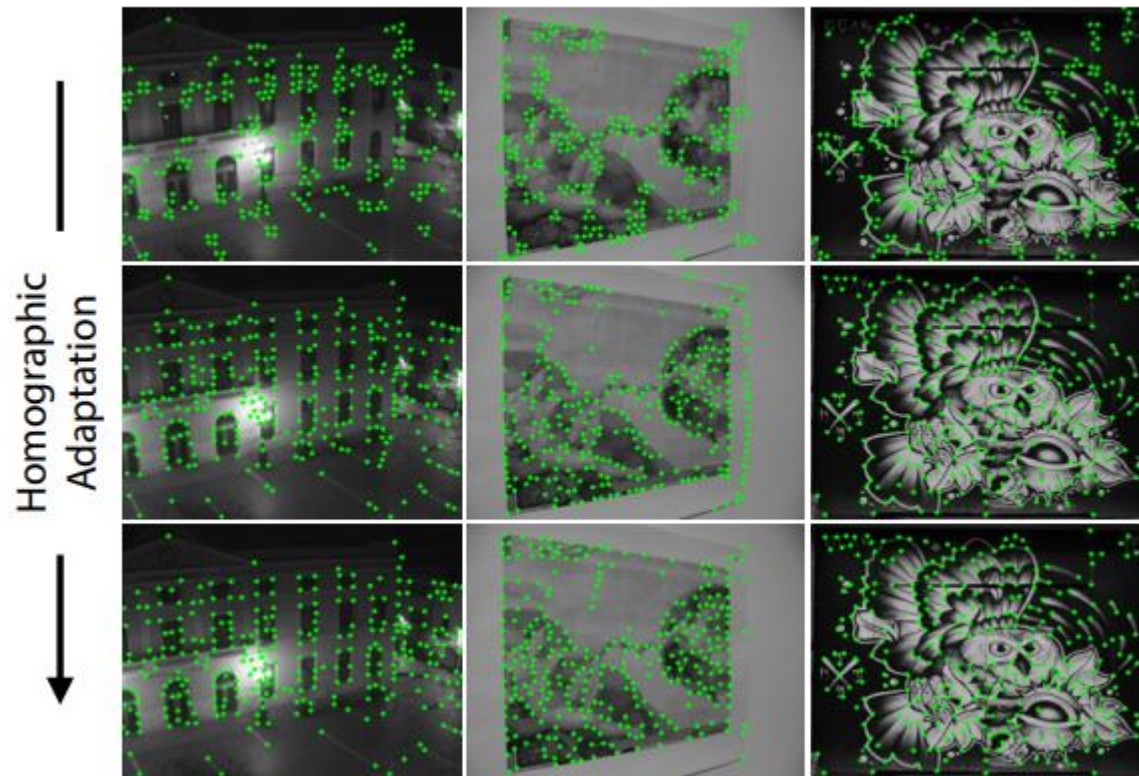
Крутим изображение

Прогоняем через сетку

Собираем все результаты вместе



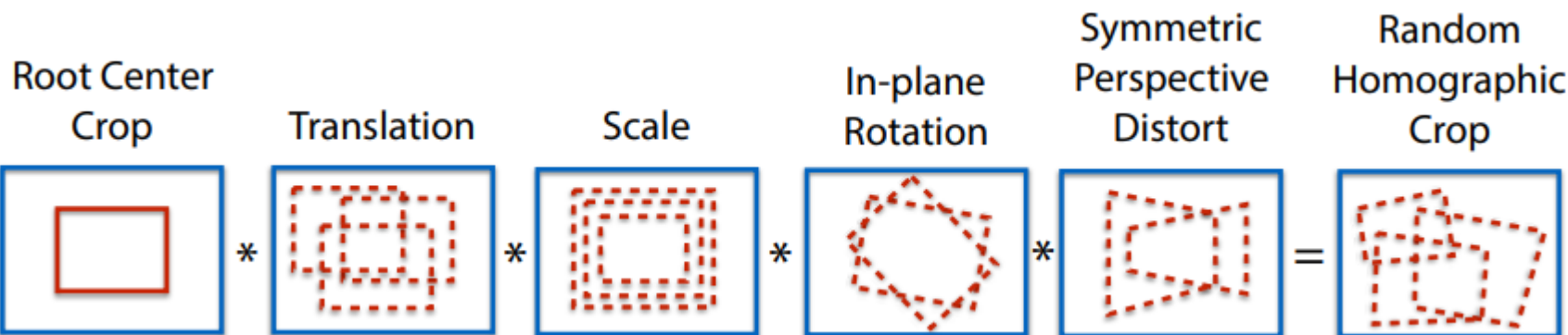
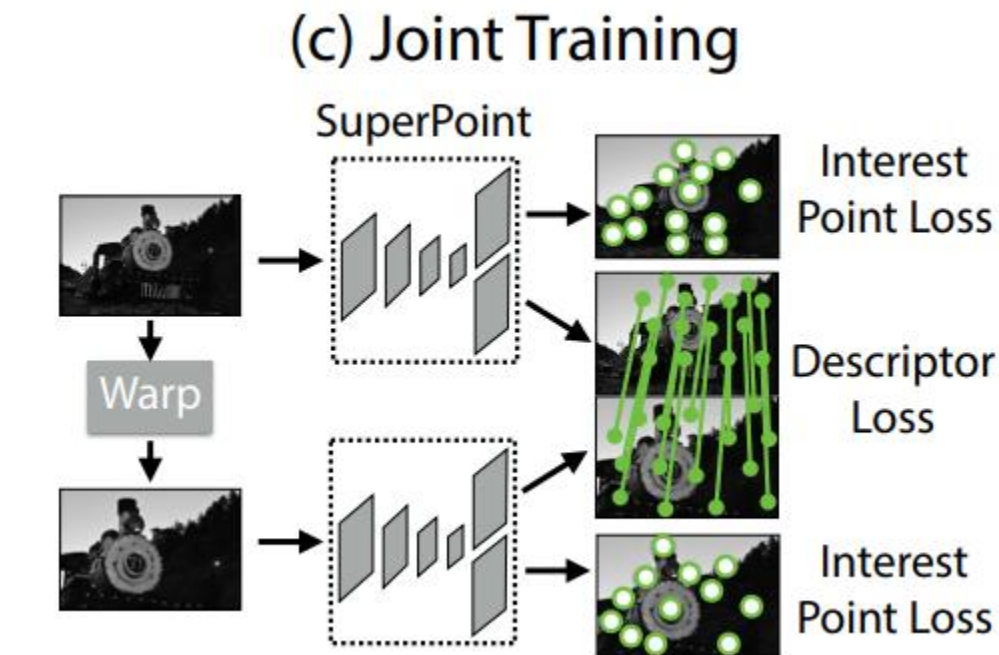
Deep Learning – SuperPoint



Теперь воспроизводится

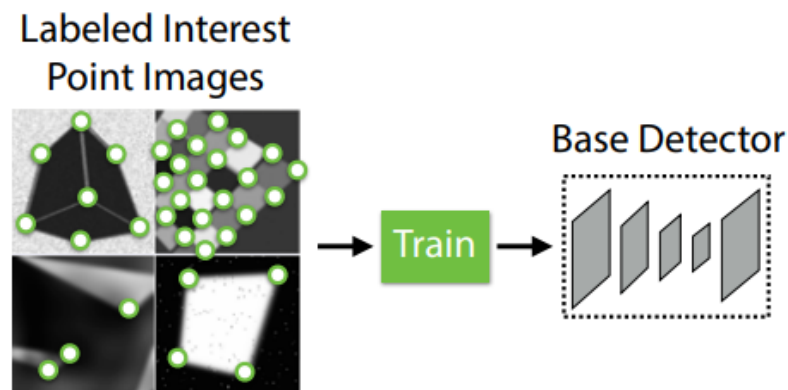
Deep Learning – SuperPoint

Знаем, как варпилась картинка
Знаем, какая точка, куда перешла
Знаем, куда тянуть по loss

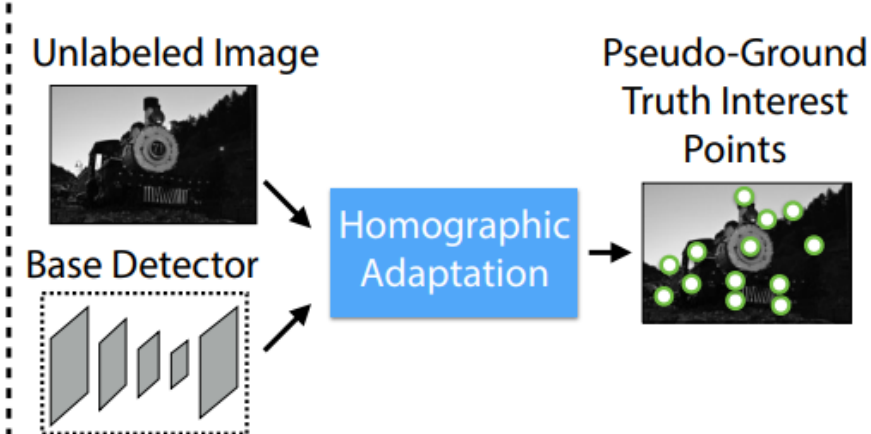


Deep Learning – SuperPoint

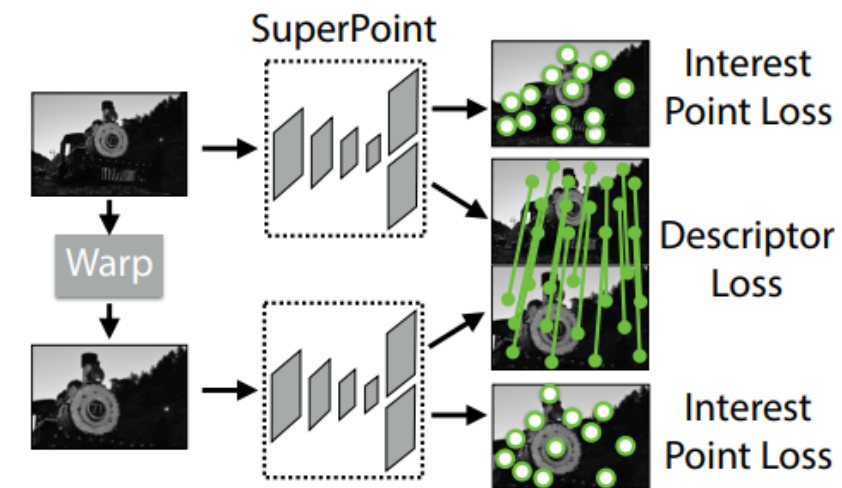
(a) Interest Point Pre-Training



(b) Interest Point Self-Labeling



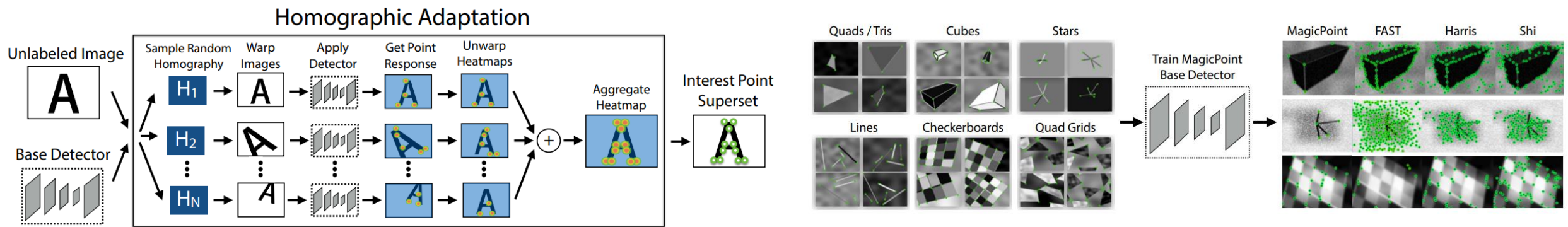
(c) Joint Training



Deep Learning – SiLK

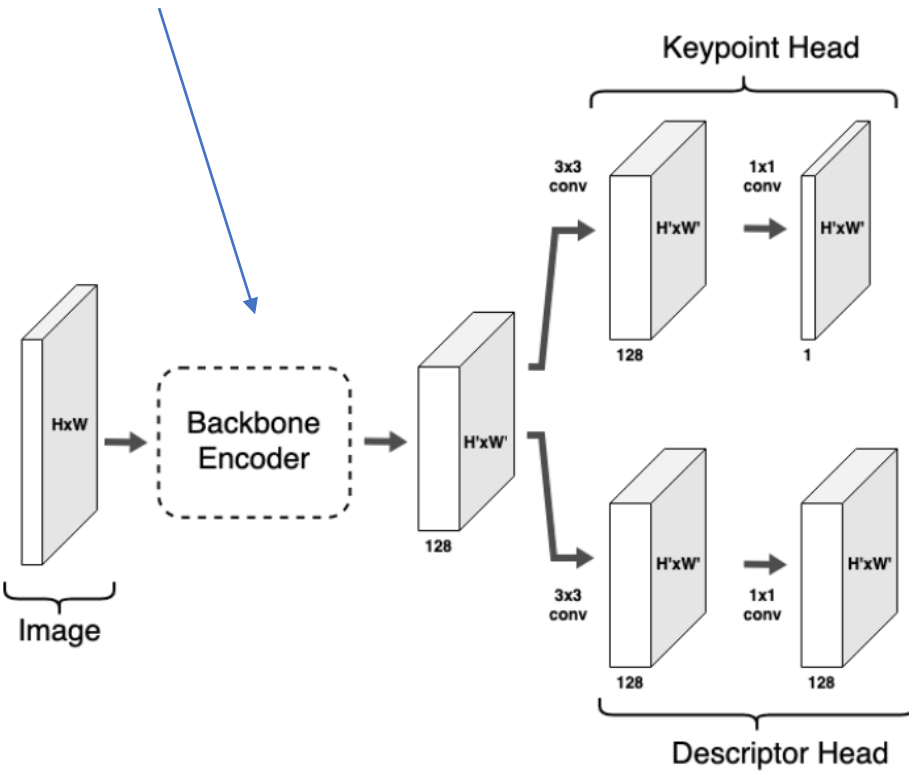
Генерация синтетики и потом homography adaptation – довольно неоднозначные этапы

Синтетика косвенно определяет, что мы будем называть надежной точкой



Deep Learning – SiLK

Мини VGG без maxpool



$$L_{key} = BCE(q, y, c) + BCE(q', y, c')$$

$$L_{desc} = NLL(s, c, c') =$$

$$= -\frac{1}{N} \sum_{i=0}^{N-1} \log P_{c_i \leftrightarrow c'_i} =$$

$$= -\frac{1}{N} \sum_{i=0}^{N-1} [\log P_{c_i \rightarrow c'_i} + \log P_{c'_i \leftarrow c_i}]$$

Deep Learning – SiLK

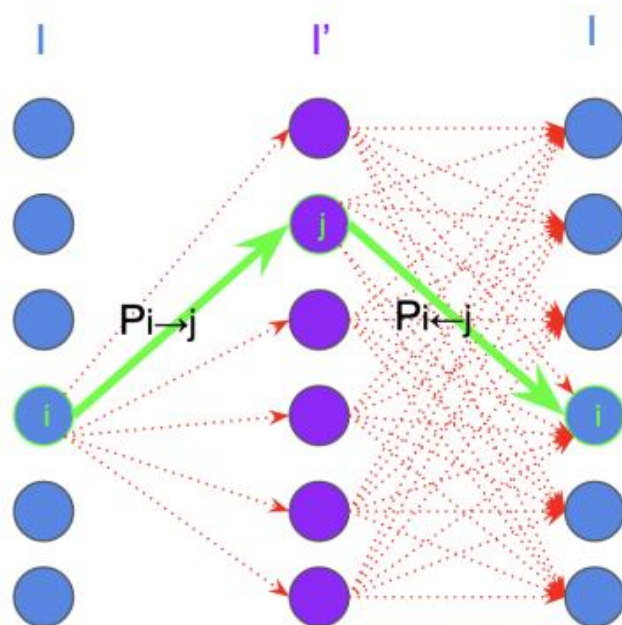
```
1 def loss(image_0, model):
2     # get warped image and pixel correspondences
3     image_1, corr_0, corr_1 = rand_homo(image_0)
4
5     # apply image augmentations
6     image_0 = augment(image_0)
7     image_1 = augment(image_1)
8
9     # extract dense descriptors and keypoints
10    desc_0, kpts_0 = model(image_0)
11    desc_1, kpts_1 = model(image_1)
12
13    # compute similarity matrix
14    sim_mat = cosim(desc_0, desc_1)
15
16    # compute the descriptor loss
17    # using ground truth correspondences
18    loss_desc = nll(sim_mat, corr_0, corr_1)
19
20    # measure matching success
21    y = is_match_success(sim_mat, corr_0, corr_1)
22
23    # compute keypoint loss
24    # using current matching success
25    loss_kpts = bce(kpts_0, y, corr_0)
26    loss_kpts += bce(kpts_1, y, corr_1)
27
28    return loss_desc + loss_kpts
```

Figure 2: Pseudo-code: learning keypoints from a single image.

Deep Learning – SiLK

Первым идет Descriptor Loss

У нас есть дескрипторы
на оригинальной картинке и варпленой



$$\begin{aligned} L_{desc} &= NLL(s, c, c') = \\ &= -\frac{1}{N} \sum_{i=0}^{N-1} \log P_{c_i \leftrightarrow c'_i} = \\ &= -\frac{1}{N} \sum_{i=0}^{N-1} [\log P_{c_i \rightarrow c'_i} + \log P_{c'_i \leftarrow c_i}] \end{aligned}$$

Мы стягиваем нужный дескриптор

с «A» → к «B»

с «B» → к «A»

Это называется *cycle-consistency*



Deep Learning – SiLK

Получается, мы учим дескрипторы в Dense манере

$$P_{i \leftrightarrow j} = P_{i \rightarrow j} P_{i \leftarrow j} \longrightarrow s_{ij} = \text{cosim}(d_i, d'_j) = \frac{\langle d_i, d'_j \rangle}{\sqrt{\langle d_i, d_i \rangle \langle d'_j, d'_j \rangle}}$$

Deep Learning – SiLK

Софтмакс по столбцу и Софтмакс по строке

$$s_{ij} = \text{cosim}(d_i, d'_j) = \frac{\langle d_i, d'_j \rangle}{\sqrt{\langle d_i, d_i \rangle \langle d'_j, d'_j \rangle}}$$

$$P_{i \rightarrow j} = \frac{e^{\frac{s_{ij}}{\tau}}}{\sum_k e^{\frac{s_{ik}}{\tau}}}$$

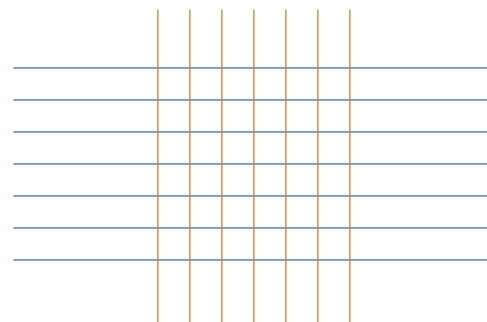
directional probability of matching d_i to d'_j

$$P_{j \leftarrow i} = \frac{e^{\frac{s_{ij}}{\tau}}}{\sum_k e^{\frac{s_{kj}}{\tau}}}$$

directional probability of matching d'_j to d_i

$$\begin{aligned} L_{desc} &= NLL(s, c, c') = \\ &= -\frac{1}{N} \sum_{i=0}^{N-1} \log P_{c_i \leftrightarrow c'_i} = \\ &= -\frac{1}{N} \sum_{i=0}^{N-1} [\log P_{c_i \rightarrow c'_i} + \log P_{c'_i \leftarrow c_i}] \end{aligned}$$

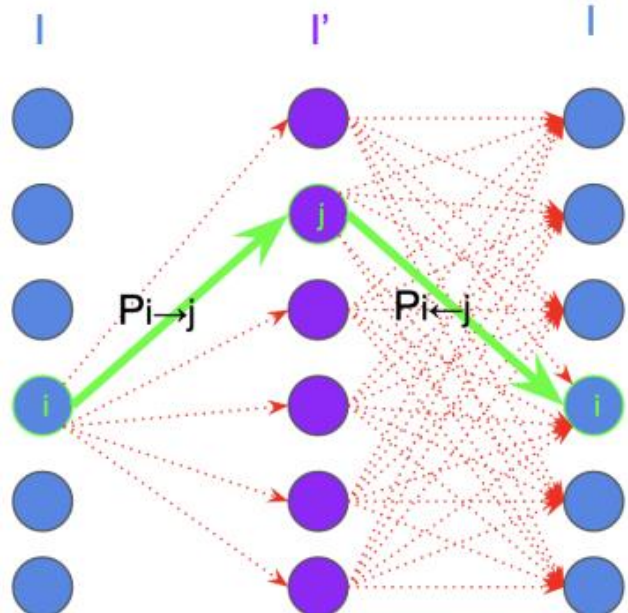
$$P_{i \leftrightarrow j} = P_{i \rightarrow j} P_{i \leftarrow j}$$



Deep Learning – SiLK

Если правильная пара дескрипторов сматчилась,
то будем там ставить единицу.

Он у того, и у этого – самый близкий по расстоянию дескриптор



$$y_i = \mathbb{1} [s_{c_i c'_i} \geq \max_k \{s_{c_i k}\}] \mathbb{1} [s_{c_i c'_i} \geq \max_k \{s_{k c'_i}\}]$$

Deep Learning – SiLK

Голова для классификации будет учиться предсказывать эти единицы.
То есть, те пиксели, где эмбеддинги должны быть хорошие

$$y_i = \mathbf{1} \left[s_{c_i c'_i} \geq \max_k \{s_{c_i k}\} \right] \mathbf{1} \left[s_{c_i c'_i} \geq \max_k \{s_{k c'_i}\} \right]$$

$$BCE(q, y, c) = -\frac{1}{N} \sum_{i=0}^{N-1} [y_i \log \sigma(+q_{c_i}) + (1 - y_i) \log \sigma(-q_{c_i})]$$

Deep Learning – SiLK

Теперь надежность и повторяемость косвенно следуют из обучения.
Не нужно самим на первом этапе выдумывать критерий надежности



Выводы

Что такое ключевые точки?

Повторяемые и надежные точки на изображениях, которые мы можем сравнить между собой и таким образом «позиционно» сравнить изображения

Нулевой этап при переходе от 2D в 3D

Выводы

SIFT

Базовый подход, с него следует начать

- Работает в случаях полного покрытия кадров, в очень разнообразной сцене

Не работает, если

- Большая однородность сцены = одинаковые дескрипторы в разных точках
- Малая плотность снимков = сильно отличаются углы обзоров объектов

Выводы

SuperPoint и SiLK

Нейросетевой аналог SIFT

- Работает в очень разнообразной сцене. Легко учить. Все учится в self-supervised

Не работает, если

- Большая однородность сцены = одинаковые дескрипторы в разных точках

Выводы

LoFTR и SuperGlue

Продвинутые подходы на трансформерах

Использованные материалы

- [Материалы курса 3DCV от DeepSchool](#)
- [Документация OpenCV](#)

Примеры работ

- A comparative analysis of pairwise image stitching techniques for microscopy images
- A monocular SLAM system based on SIFT features for gastroscope tracking
- Real time SLAM in Endoscopy Applications
- KDD 2019: SLAM Endoscopy Enhanced by Adversarial Depth Prediction - Reconstruction of Colon Phantom
- EndoSLAM dataset and an unsupervised monocular visual odometry and depth estimation approach for endoscopic videos
- CudaSIFT-SLAM: multiple-map visual SLAM for full procedure mapping in real human endoscopy